

(HUANJING KEXUE)

ENVIRONMENTAL SCIENCE

第35卷 第7期

Vol.35 No.7

2014

中国科学院生态环境研究中心 主办

斜学出版社出版



ENVIRONMENTAL SCIENCE

第35卷 第7期 2014年7月15日

目 次

区域污染对本底地区气溶胶光学特性及辐射强迫影响的地基和工	1百万度加州江文
区域/5条对平底地区飞俗放兀字符性及福别短坦影响的地基相上 	2.生造芯观侧听允
北京上甸子区域大气本底站甲基氯仿在线观测研究	·····································
浙江临安大气本底站 CO 浓度及变化特征 ····································	····· 方双喜,周凌晞,栾天,马千里,王红阳(2454)
南京北郊夏季大气颗粒物中有机碳和元素碳的污染特征	
北京上甸子区域大气本底站甲基氯仿在线观测研究 浙江临安大气本底站 CO 浓度及变化特征 南京北郊夏季大气颗粒物中有机碳和元素碳的污染特征 西安冬季非灰霾天与灰霾天 PM _{2.5} 中水溶性有机氮污染特征比较	
西安冬季非灰霾天与灰霾天 PM2.5 中水溶性有机氮污染特征比较沙尘天气对兰州市 PM10中主要水溶性离子的影响上海大气降水中细菌气溶胶的多样性研究重庆主城区降水中重金属的分布特征及其沉降量宁波人为源 VOC 清单及重点工业行业贡献分析包装印刷行业挥发性有机物控制技术评估与筛选级水混合吸收剂脱除 CO2 实验研究纸炉烟气中二噁英类物质排放水平研究2012 年夏季长江口颗粒有机碳、氮分布特征及其来源于岛湖溶解氧的动态分布特征及其影响因素分析、共岛湖溶解氧的动态分布特征及其影响因素分析、大湖夏季水体中尿素的来源探析、韩晓霞,鄱阳湖阻隔湖泊浮游植物群落结构演化特征:以军山湖为例、	程玉婷,王格慧,孙涛,成春雷,孟静静,任艳芹,李建军(2468)
沙尘大气对兰州市 PM ₁₀ 中王要水溶性离子的影响	················ 土芳, 陈琏, 张又煜, 郭男涛, 赵连彪 (2477)
上两人气降水中细菌气浴胶的多件性饼光	·····································
里仄土坝区阵小中里壶周的汀尔特征及共优阵里 · · · · · · · · · · · · · · · · · · ·	
有装印刷行业挥发性有机物控制技术评估与筛选 ····································	·····································
氨水混合吸收剂脱除 CO. 实验研究 ····································	
焦炉烟气中二碟英类物质排放水平研究	孙鹏程,李晓璐,成钢,陆勇,吴昌敏,罗锦洪(2515)
2012年夏季长江口颗粒有机碳、氮分布特征及其来源	·····································
千岛湖水体悬浮颗粒物吸收特性及其典型季节差异	王明珠,张运林,施坤,高贇,刘刚,蒋浩(2528)
千岛湖溶解氧的动态分布特征及其影响因素分析	····· 殷燕,吴志旭,刘明亮,何剑波,虞左明(2539)
太湖夏季水体中尿素的来源探析 韩晓霞,	朱广伟,许海, Steven W. Wilhelm,秦伯强,李兆富(2547)
鄱阳湖阻隔湖泊浮游植物群落结构演化特征:以军山湖为例 …	对筤,钱奎梅,谭国艮,邢久生,李梅,陈宇炜(2557)
不同营养湖泊沉积物中 ²¹⁰ Pb。和营养盐垂同分布特征及相关性分	析 ····· 主小宙, 杨浩, 顺祝军, 张明礼 (2565)
不同营养湖泊沉积物中 ²¹⁰ Pb。和营养盐垂向分布特征及相关性分地下水硝酸盐污染抽出处理优化方法模拟研究 预压力混凝沉淀除藻工艺中 DOC 变化规律研究 类水滑石 Mg/Zn/Al 焙烧产物对高氯酸盐的吸附 粉煤灰对阴离子水溶性混合染料的吸附动力学 SDS 对两性修饰膨润土吸附 Cd²+ 的影响 基化的比如用是比焦度的从 Batture 特别是	
澳压力低凝机促除裸工乙中 DOC 发化观律研究	·······
类尔语有 Mg Zil/ Ai	
SDS 对两性修饰膨润土吸附 Cd^{2+} 的影响	王建涛 孟昭福 杨亚提 杨淑茁 李彬 马麟莉 许绍姆 (2596)
老化的生物质炭性质变化及对菲吸持的影响	······· 唐伟 郭悦 吴景贵 黄水琴 代静玉 (2604)
TIO 光催化降解 PEOA 的反应动力学及机制研究	本明法 喻逐进 阵鼫 王莉 刘晴 刘红鑫 何丽丽 (2612)
荧光猝灭法研究洛克沙胂与腐殖酸的相互作用	朱江鹏,梅婷,彭云,葛思怡,李时银,王国祥(2620)
改性活性碳纤维电芬顿降解苯酚废水性能研究	·····································
催化铁强化低碳废水生物反硝化过程的探讨	王梦月,马鲁铭 (2633)
一一	刘佳,沈志强,周岳溪,曹蓉,李元志 (2639)
早待纸厂发水中 配色含量及且用土束辐照降解	音类 黄锡银 金小釉 张委邯 杨颋颋 任明思 温玉龙(2645)
嘉兴市规模化养猪场沼液水质调查研究 · · · · · 卫 提高污泥碱性发酵挥发酸积累的新方法 · · · · · · · · · · · · · · · · · · ·	上升,万梅,刘锐,王根荣,张汛达,文晓刚,赵远,陈吕军(2650)
提高污泥嶼性友臀挥友酸积累的新力法 ····································	·············
舟山近海水体和沉积物中多环芳烃分布特征 ·······	
青藏高原湖泊流域土壤与牧草中多环芳烃和有机氯农药的污染特	上征与来源解析
福建鹫峰山脉土壤有机氯农药分布特征及健康风险评价 黄	
不同功能区表层土中全氟化合物污染指纹及其来源解析	
桑沟湾溶解态无机砷的分布、季节变化及影响因素	李磊,任景玲,刘素美,蒋增杰,杜金洲,方建光(2705)
引黄灌区不同尺度农田土壤重金属空间分布及污染评价:以银川	市兴庆区为例 王幼奇,白一茹,王建宇(2714)
三峡水库消落区土壤、植物汞释放及其在斑马鱼体的富集特征…	… 李楚娴,孙荣国,王定勇,赵铮,张金洋,马明,张成(2721)
广东典型海水养殖区沉积物及鱼体中磺胺类药物的残留及其对人	、体的健康风险评价 ····································
青岛市区大气降尘重金属对人体健康风险的评价	······ 何秀婷,土奇, 裁湘半, 杨永涛, 程草 (2728)
育岛印区天气降尘里金禺对人体健康风险的评价 · · · · · · · · · · · · · · · · · · ·	
焦炉排放多环芳烃与人体健康风险评价研究 Cd、Cu 和 Pb 复合污染对蚯蚓抗氧化酶活性的影响 3 种氯酚对噬热四膜虫的毒性效应 施硅方式对稻米镉阻隔潜力研究 保护性排作对后茬冬小麦土壤 CO。和N.O排放的影响	
3 种氯酚对避执四膜中的毒性效应	
施硅方式对稻米镉阳隔潜力研究	陈喆,铁柏清,雷鸣,刘孝利,叶长城,罗梅梅,毛懿德(2762)
保护性耕作对后茬冬小麦土壤 CO, 和N,O排放的影响	潘莹, 胡正华,吴杨周,孙银银,盛露,陈书涛,肖启涛(2771)
渭北生草果园土壤有机碳矿化及其与土壤酶活性的关系	
保护性新作利后在令小麦土壤 CO ₂ 和N.O.ff 成的影响 渭北生草果园土壤有机碳矿化及其与土壤酶活性的关系 蒸汽-空气混合注射修复 TCE 污染的二维土箱实验研究 铜离子对双室微生物燃料电池电能输出的影响研究	王宁,彭胜,陈家军 (2785)
铜离子对双室微生物燃料电池电能输出的影响研究	牟姝君,李秀芬,任月萍,王新华(2791)
建 级加强制理风情风仍犯难加工乙的僵垒 【种种氨【排风付恤	··· 赵辰阳,姚烁处,匈抓,奸臣,才六,孤废阳,子庆仪(2/90)
冬季猪粪固体堆放过程中 NH ₃ 、N ₂ O和 NO 排放特征研究 ········	… 〕钢强,韩圣慧,袁玉玲,罗琳,王立刚,李虎,李萍(2807)
県理切疹滤液陽爼酸阻現理酸的变化特性及展型研究 ············· 涂滤液与涂透浓烧液同灌山水水氏态化型结构现象	··················
填埋场渗滤液腐殖酸随填埋龄的变化特性及模型研究。 渗滤液反渗透浓缩液回灌出水水质变化规律的研究。 中国铅流变化的定量分析。 半短程亚硝化与厌氧氨氧化联合脱氮工艺微生物特征研究进展。 《环境科学》征稿简则(2679) 《环境科学》征订启事(2735)	······ 土 朱 侮 , 刈 升 , 刈 大 稱 , 陶 服 葭 , 刈 颖 (2822)
工四市机文化时产里刀切坐布积亚硝化与压氨氨氨化联合的氨工类微压物性尔研索进量	サニ, 七) 七) 七) 七) 七) カニ, 七) 大) カニ, 七) 大) カニ カニ は 元 (2829) カスター カー・・・・・・・・・・・・・・・・・・・・・・・・・・・・・・・・・・・
《环境科学》征稿简则(2679) 《环境科学》征记自事(2735)	信息(2476-2556-2713-2770)
#・1-2011 4 // mediated 24 (5012)	H10.(= 110,200,2110,2110)

青岛市区大气降尘重金属对人体健康风险的评价

张春荣1,吴正龙2,姚春卉3,高宗军1

(1. 山东科技大学山东省沉积成矿作用与沉积矿产重点实验室,青岛 266590; 2. 山东科技大学学生工作处,青岛 266590; 3. 山东省煤田地质局第五勘探队,泰安 271000)

摘要:在青岛市区采集大气降尘、土壤样品各89件,并分析化验了样品中Cd、Cr、Cu、Hg、Ni、Pb、Zn等的含量.在这些分析化验结果的基础上,应用美国EPA人体暴露风险评价方法,对青岛市区大气降尘重金属对人体的健康风险进行评价.结果表明,市南市北崂山区大气降尘重金属 Cd、Cr、Cu、Hg、Pb、Zn平均值的含量最高,比李沧城阳区和黄岛区污染严重.大气降尘重金属平均值与相应土壤比,除市南市北崂山区大气降尘 Hg 的平均含量低于土壤均值外,其它均高于土壤.整体来看青岛市区大气降尘重金属对人体健康的风险差异不大,危害较小;但如果市南、崂山和城阳区大气降尘 Cr、Pb一直保持这种高浓度,则有4个采样点可能对人体的健康造成危害;且不同途径、不同种类的大气降尘重金属累积将明显加大危害人体健康的风险.

关键词:大气降尘;重金属;健康;风险;评价;青岛市

中图分类号: X502; X820.4 文献标识码: A 文章编号: 0250-3301(2014)07-2736-06 DOI: 10.13227/j. hjkx. 2014. 07. 042

Health Risk Assessment of Heavy Metals in Atmospheric Dust of Qingdao City

ZHANG Chun-rong¹, WU Zheng-long², YAO Chun-hui³, GAO Zong-jun¹

(1. Shandong Provincial Key Laboratory of Depositional Mineralization & Sedimentary Minerals, Shandong University of Science and Technology, Qingdao 266590, China; 2. Department of Student Affairs, Shandong University of Science and Technology, Qingdao 266590, China; 3. The Fifth Prospecting Team of Shandong Provincial Bureau of Coal Geology, Taian 271000, China)

Abstract: Based on the 89 atmospheric dust samples and soil samples that were collected around Qingdao, we tested and analyzed the contents of Cd, Cr, Cu, Hg, Ni, Pb, Zn. Based on these analysis results, the risk of heavy metals in atmospheric dusts to human health were assessed by using the US EPA Health Risk Assessment Model. Analysis showed that the average contents of Cd, Cr, Cu, Hg, Pb, Zn in the atmospheric dust of Shinan, Shibei and Laoshan districts were the highest. Therefore, the air pollution of these districts was more serious than the districts of Licang, Chengyang and Huangdao. Comparing the average contents of heavy metals in atmospheric dust with those in soil, we found that only the content of Hg in atmospheric dust collected from the districts of Shinan, Shibei and Laoshan was lower than that in the corresponding soil. All the contents of other heavy metals in atmospheric dust were higher than those in corresponding soil. As a whole, the heavy metals in atmospheric dust of Qingdao City showed slight difference and were less harmful to human health. However, it was harmful in some samples to human health if the contents of Cr and Pb in atmospheric dusts of Shinan, Laoshan and Chengyang districts were always kept at such high densities. Besides, the accumulation of heavy metals in atmospheric dust through various approaches and categories may obviously increase the risk of damaging human health.

Key words: atmospheric dust; heavy metal; health; risk; assessment; Qingdao City

随着城市经济的飞速发展,机动车量的急剧增加,城市大气降尘量明显增加,对空气质量的影响日趋严重,尤其是其携带的重金属,可以通过手-口、呼吸和皮肤等途径进入人体,导致人体机能功能性障碍和不可逆性损伤^[1,2],因此,大气降尘重金属对人体健康的危害已引起人们的广泛关注. 国外主要是欧盟从 1999 年开展的铂族金属污染对人体和生态系统的风险评价研究开始的^[3];国内也开展了大量的研究,如胡恭任等^[4]对泉州市大气降尘重金属的生态环境风险进行了评价,孙广义等^[5]、梅凡民等^[6]、喻超等^[7]对大气降尘中重金属的生物有效性进行了研究. 但是对于大气降尘重金属对人体健康风险的研究较少,因此,本研究拟在青岛市区开展大

气降尘、土壤样品采集和化验分析工作,并在样品 化验分析结果的基础上,分析大气降尘重金属对人 体健康的风险,以期为青岛市区大气降尘重金属的 污染控制和治理提供科学依据.

1 材料与方法

1.1 研究区概况

青岛市区地处太平洋的西岸、黄海之滨、山东

收稿日期: 2013-11-29; 修订日期: 2014-02-26

基金项目: 山东省国土资源大调查项目(2006709);国家自然科学基金项目(71303140);水利部公益性行业科研专项(201301089);山东科技大学"群星计划"项目(qx2013309)

作者简介: 张春荣(1973~),女,博士,工程师,主要研究方向为环境 地质和水文水资源,E-mail:zcrsdust@126.com 半岛的南端,紧紧环绕着胶州湾,属于北温带季风气候区,空气湿润,夏季无酷暑,冬季无严寒,面临太平洋,自然风较大. 青岛市是山东省东部重要的经济中心城市,是国家级历史文化名城和风景旅游、度假胜地. 近年来,青岛市不断进行工业产业结构调整,现已形成了市南市北崂山区-青岛市核心区域,积极发展现代服务业、高新技术产业和文化旅游业;李沧城阳区积极发展信息家电、汽车船舶、生物医药、商贸物流业等;黄岛区则主要发展石油化工、橡胶塑料、信息家电、商贸物流业等.

1.2 样品采集

为研究青岛市区大气降尘重金属对人体健康的风险,于2009年8、9月严格按照《区域生态地球化学评价技术要求》进行了青岛市区大气降尘、土壤样品的采集工作.

大气降尘样品布设采用网格布样法,利用 MapGIS 软件在数字底图上按照 2 km×2 km 网格进行采样点的布设;实地采样过程中,选取周边(25 m×25 m)没有遮挡雨、风、雪的高大树木或者高大建筑物,并充分考虑风向、地形等因素,躲避开烟囱等污染源,利用 GPS 确定采样点的实际坐标位置,并生成采样点分布图(图1). 样品采集为1.5~2.0 m高度门、窗等建筑物边角部位的大气降尘,每份样品重100 g,共计采集大气降尘样品89 件. 大气降尘样品采集后用干净的130 目尼龙筛过筛^[8,9],除去树叶、木屑等杂物备用.

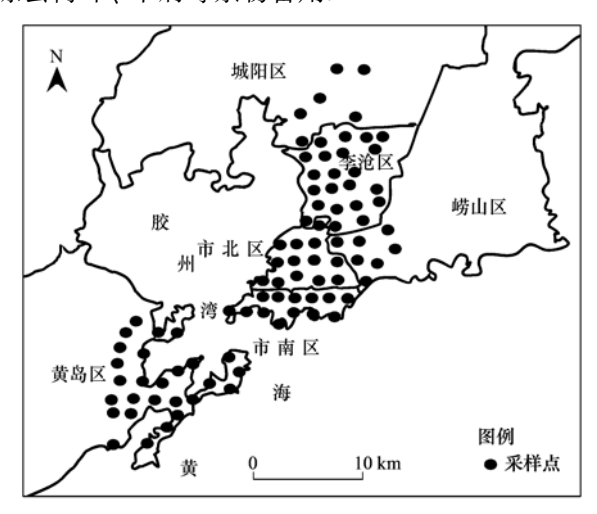


图1 青岛市区采样点分布示意

Fig. 1 Scatter diagram of samples in the area of Qingdao City

土壤样品采样点与大气降尘样品点位相同(图1). 土壤样品采样点选择在大气降尘采样点的周围堆积历史较长的土壤. 在采样点周围 50 m 范围内多点采集 0~20 cm 的表层土壤,混合均匀形成一个

土壤样品,每份样品重 500 g,共计采集 89 件. 待样品自然干燥后,用干净的 20 目尼龙筛过筛^[10],除去土壤中的杂物或砾石,然后用玛瑙无污染样品制备机具将样品粉碎至粒径小于 100 目备用.

1.3 样品分析方法

对采集的大气降尘和土壤样品生物毒性显著的 Cd、Cr、Cu、Hg、Ni、Pb、Zn 进行了化验分析. 其中 Cd 采用石墨炉原子吸收分光光度法测定,检测限 $0.03~\mu g \cdot g^{-1}$; Cr、Pb 用 X 射线荧光光谱法 (XRF)测定,检测限为 $5~\mu g \cdot g^{-1}$ 、 $2~\mu g \cdot g^{-1}$; Hg 采用原子荧光光谱法 (AFS)测定,检测限为 $2~n g \cdot g^{-1}$; Cu、Ni、Zn 用电感耦合等离子体质谱法 (ICP-MS)测定,检测限分别为 1、2、4 $\mu g \cdot g^{-1}$; 回收率介于 97. 1% ~102. 8%之间 [11,12]. 所采集的样品全部由武汉综合岩矿测试中心化验分析.

为保证分析结果的可靠有效,按照《中国地质调查局地质调查技术标准·土壤地球化学评价样品分析技术要求(试行)》采用了重复样品分析、密码抽查等方法对大气降尘、土壤样品的化验分析质量进行了严格的监控,确保分析数据准确无误.本研究数据分析是在 EXCEL 中运行的.

2 结果与讨论

2.1 大气降尘重金属的特征

根据青岛市大气降尘、土壤样品化验分析结果 和南京市、石家庄市、哈尔滨市的研究情况进行统 计分析,得到重金属的统计情况表(表1).

根据表1可以看出,市南市北崂山区大气降尘 Cd、Cr、Cu、Hg、Ni、Pb 和 Zn 的总量为 0.361~ 7.079, $77.7 \sim 1684.6$, $52.4 \sim 608.7$, $0.04 \sim$ 0.655, 23.9 ~ 96.7, 109.6 ~ 2 223, 334.4 ~ 18 900 mg·kg⁻¹,平均值为 1.744、243.6、166.1、0.214、 46.8、328.2 和2 975.8 mg·kg⁻¹. 变异系数为 Zn > Pb > Cr > Cd > Hg > Cu > Ni, 其中 Ni 的变异系数最 小为29%;其它重金属元素的变异系数均大于 50%,时空分布非常不均匀.与相应土壤重金属含 量比,大气降尘重金属的平均含量除 Hg 低于土壤 值外,其它均高于土壤值,尤其是 Cd、Cr、Cu、Pb、 Zn,在土壤值的5倍以上,可能受到人为因素的明显 影响. 一般说来 Cd 主要来源于化石燃料燃烧、冶 炼、化工、电镀、印染、垃圾焚烧等[16], Cu 主要来 源于焦炭的粉尘等[17], Cr 被广泛应用于制造不锈 钢、汽车零件、磁带和录像带等,Pb 是交通运输污 染的标志性元素[18], Zn 主要来自于含铅汽油的燃 烧和汽车轮胎磨损产生的粉尘^[19],因此市南市北崂山区大气降尘 Cd、Cr、Cu、Pb、Zn 应与交通活动污染和高新技术产业引起的工业污染有关.

季沧城阳区大气降尘 Cd、Cr、Cu、Hg、Ni、Pb和 Zn 的总量为 0. 364~3. 319、70. 2~356. 9、35. 6~212. 4、0. 04~0. 786、18. 2~101. 7、68. 6~1 284和 226. 3~17 050 mg·kg⁻¹,平均值为 1. 284、149. 2、91. 1、0. 169、43. 6、204. 9和 1 687. 6mg·kg⁻¹. 变异系数为 Zn > Pb > Hg > Cd > Ni > Cr > Cu,其中 Cu、Cr、Ni 的变异系数小于 50%,其它重金属元素的变异系数均大于 50%,时空分布非常不均匀. 与相应土壤重金属含量比,大气降尘重金属的平均含量均高于土壤值,尤其是 Pb、Zn,在土壤值的 5倍以上,可能受到人为因素的明显影响,与李沧城阳区商贸物流业交通活动污染有关.

黄岛区大气降尘 Cd、Cr、Cu、Hg、Ni、Pb 和 Zn 的总量为 0. 396 ~ 1. 766、44. 8 ~ 888、56. 8 ~ 1 208、0. 031 ~ 0. 97、25. 2 ~ 257. 4、84. 3 ~ 443. 5 和 317. 8 ~ 21 710 mg·kg⁻¹, 平均值为 0. 908、144. 4、164. 8、0. 181、61. 5、165. 2 和2 069. 5 mg·kg⁻¹. 变异系数为

Zn > Cu > Hg = Cr > Ni > Pb > Cd,其中 Cd 的变异系数 最小为 37%,其它重金属元素的变异系数均大于 50%,时空分布非常不均匀.与相应土壤重金属含量比,大气降尘重金属的平均含量均高于土壤值,尤其是 Cd、Cu、Pb、Zn,在土壤值的 5 倍以上,可能受到人为因素的明显影响,与黄岛区商贸物流业交通活动污染和石油化工、橡胶塑料等工业污染有关.

青岛市区大气降尘重金属平均值中市南市北崂山区除 Ni 外均为最高;李沧城阳区的 Cd、Cr、Pb较高,Cu、Hg、Ni、Zn 最低;黄岛区的 Ni 最高,Cu、Hg、Zn 较高,Cd、Cr、Pb 最低,整体来看市南市北崂山区污染较重.

青岛市区大气降尘重金属平均值与南京市、石家庄市和哈尔滨市相比,其中 Cr、Zn 均为最高,Hg 均为最低,而其它重金属元素则具有一定的差异.整体来看市南市北崂山区大气降尘重金属与南京市含量相当;李沧城阳区和黄岛区与石家庄含量相当.但是由于青岛市区与南京市、石家庄市和哈尔滨市研究结果在时间上存在差异,此对比只能大体说明青岛市区大气降尘污染的状况.

表 1 重金属的统计情况表

Table 1 Statistics of heavy metals

地区	项目	指标	Cd	Cr	Cu	Hg	Ni	Pb	Zn
		最小值/mg·kg ⁻¹	0.361	77.7	52.4	0.04	23.9	109.6	334.4
		最大值/mg·kg ⁻¹	7.079	1 684.6	608.7	0.655	96.7	2 223	18 900
青岛市南市北崂山区(34)	大气降尘	平均值/mg·kg-1	1.744	243.6	166.1	0.214	46.8	328.2	2 975.8
月可印用印北吻田区(34)	八、四年主	标准偏差	1.29	283.43	99.64	0.13	13.73	396.58	4 619.65
		变异系数/%	74	116	60	62	29	121	155
		土壤/mg·kg ⁻¹	0.217	49.5	32.11	0.493	18.1	66.0	117.9
		最小值/mg·kg-1	0.364	70.2	35.6	0.04	18.2	68.6	226.3
	大气降尘	最大值/mg·kg ⁻¹	3.319	356.9	212.4	0.786	101.7	1 284	17 050
青岛李沧城阳区(28)		平均值/mg·kg-1	1.284	149.2	91.1	0.169	43.6	204.9	1 687.6
月四子记然阳匹(20)		标准偏差	0.74	54.47	33.10	0.14	18.50	223.42	3 355.65
		变异系数/%	58	37	36	84	42	109	199
		土壤/mg·kg-1	0. 267	53.8	25.9	0.069	20.7	40.3	95.9
		最小值/mg·kg-1	0.396	44.8	56.8	0.031	25.2	84.3	317.8
		最大值/mg·kg ⁻¹	1.766	888	1208	0.97	257.4	443.5	21 710
青岛黄岛区(27)	大气降尘	平均值/mg·kg ⁻¹	0.908	144.4	164.8	0.181	61.5	165.2	2 069.5
月则黄则凸(21)	八、伊王	标准偏差	0.33	151.58	214.00	0.19	51.05	86.94	4 325.81
		变异系数/%	37	105	130	105	83	53	209
		土壤/mg·kg ⁻¹	0.124	40.0	17.5	0.054	18.2	28.8	68.5
南京市[13]		大气降尘/mg·kg ⁻¹	5.8	95.8	121	0.57	51.7	331	798
石家庄市[14]		大气降尘/mg·kg-1	4.36	96	74.9	0.346	30.6	140	1 020
哈尔滨市[15]		大气降尘/mg·kg-1	1.46	87.13	104.9	0.25	27	117.15	370.77

2.2 大气降尘重金属对人体健康的风险

2.2.1 大气降尘重金属暴露模型与参数

大气降尘通常是指粒径在 10 µm 以上可以靠

重力作用自然降落到地面的大气颗粒物,但在静止空气中 10 μm 以下的尘粒也能沉降,因此大气降尘也包括部分粒度较细的大气颗粒物^[20],因此可以经

手-口直接摄入、皮肤接触和呼吸等 3 种途径进入 人体,根据美国 EPA 人体暴露风险评价方法,其健 康风险计算模型为式(1)~(3)所示^[21].

经手-口途径日平均暴露量(ADDing):

$$\begin{split} \mathrm{ADD_{ing}} &= \frac{c \times \mathrm{CF} \times \mathrm{EF}}{\mathrm{AT}} \times \\ &\left(\frac{\mathrm{IngR_{child}} \times \mathrm{ED_{child}}}{\mathrm{BW_{child}}} + \frac{\mathrm{IngR_{adult}} \times \mathrm{ED_{adult}}}{\mathrm{BW_{adult}}} \right) \ \, (1) \end{split}$$

经呼吸途径日平均暴露量(ADD_{inh}):

$$\begin{split} \mathrm{ADD_{inh}} &= \frac{c \times \mathrm{EF}}{\mathrm{PEF} \times \mathrm{AT}} \times \\ &\left(\frac{\mathrm{InhR_{child}} \times \mathrm{ED_{child}}}{\mathrm{BW_{child}}} + \frac{\mathrm{InhR_{adult}} \times \mathrm{ED_{adult}}}{\mathrm{BW_{adult}}} \right) \ (2) \end{split}$$

经皮肤接触日平均暴露量(ADD_{derm}):

$$\begin{aligned} \text{ADD}_{\text{derm}} &= \frac{c \times \text{CF} \times \text{SL} \times \text{ABS} \times \text{EF}}{\text{AT}} \times \\ &\left(\frac{\text{SA}_{\text{child}} \times \text{ED}_{\text{child}}}{\text{BW}_{\text{child}}} + \frac{\text{SA}_{\text{adult}} \times \text{ED}_{\text{adult}}}{\text{BW}_{\text{adult}}} \right) (3) \end{aligned}$$

其中模型变量取值参考美国 EPA 土壤健康风险评价方法、我国场地环境评价指南以及国内外相关研究.式中,c为实测大气降尘重金属的浓度,单位为 $mg \cdot kg^{-1}$; IngR 为经手-口摄入的大气降尘频率,其中少年儿童取值为 200 $mg \cdot d^{-1}$,成人取值为 100 $mg \cdot d^{-1[22]}$; CF 为转换系数,取为 1 × 10^{-6} kg· $mg^{-1[22,23]}$; EF 暴露频率选取为 365 $d \cdot a^{-1}$; ED 暴露年限,假定人的生命周期为 71 $a^{[24]}$,其中儿童期为 18 a,成年期为 53 a; BW 为平均体重,少年儿童取体重平均值 32 kg,成人取体重平均值 59 kg^[24]; AT 平均暴露时间为假定人的生命周期 71 a 乘以 365 $d \cdot a^{-1[24]}$; InhR 为呼吸频率,少年儿童取平均值为 8.61 $m^3 \cdot d^{-1}$,成人取平均值为 13.77 $m^3 \cdot d^{-1[24]}$; PEF 大气降尘产生因子取默认值 1.36

 $\times 10^9 \text{ m}^3 \cdot \text{kg}^{-1[22]}$; SA 为暴露皮肤表面积,取不同季节暴露面积的平均值,其中少年儿童取为 0.713 m^2 ,成人取为 2.344 $\text{m}^{2[22]}$; SL 为皮肤黏着度取 2 000 $\text{mg} \cdot (\text{m}^2 \cdot \text{d})^{-1[25]}$; ABS 为皮肤吸收因子取为 0.001 $^{[22,23]}$.

2.2.2 大气降尘重金属对人体的健康风险表征

大气降尘重金属 Cd、Cr、Cu、Hg、Ni、Pb、Zn不同暴露途径的健康风险 HQ 和不同途径、不同种类的大气降尘重金属累积对人类的健康风险计算方法,如式(4)~(6).

$$HQ_{i,j} = \frac{ADD_{i,j}}{RfD_{i,j}}$$
 (4)

$$HI_i = \sum HQ_{i,j} \tag{5}$$

$$HI_{i,j} = \sum HI_i \tag{6}$$

式中, $HQ_{i,j}$ 为j途径的重金属元素i 对人体的健康风险; $ADD_{i,j}$ 为j途径的重金属元素i 的日平均暴露量,单位为 $mg \cdot (kg \cdot d)^{-1}$; $RfD_{i,j}$ 为j途径的重金属元素i 的日暴露健康风险参考剂量,单位为 $mg \cdot (kg \cdot d)^{-1}$,表示每天每kg 人体摄取的重金属元素不会引起人体不良反应的污染物最大量; HI_i 为大气降尘重金属i 的健康风险, $HI_{i,j}$ 为大气降尘重金属累积的健康总风险。当HQ、HI 小于等于1.0 时,认为大气降尘重金属对人体的健康风险危害较小或没有明显伤害;当HQ、HI 大于1.0 时,认为大气降尘重金属有可能对人体造成危害。

表 2 列出了不同暴露途径的大气降尘重金属Cd、Cr、Cu、Hg、Ni、Pb、Zn 对人体的健康风险参考剂量RfD,运用公式(4)~(6)计算青岛市区不同暴露途径的大气降尘重金属对人体的健康风险HQ和健康风险HI,得到表 3、表 4.

表 2 不同暴露途径的重金属参考剂量/ $\mu g \cdot (kg \cdot d)^{-1}$

Table 2	Average daily	doses for	each heavy	metal and	exposure	nathway/µ.g	· (kg·d) -1
rabic 2	Tiverage damy	doses for	cacii neavy	metar and	caposure	paniway/ mg	· (Kg·u)

项目	Cd	Cr	Cu	Hg	Ni	Pb	Zn
RfD_{ing}	1.00	3.0000	40. 0	0.300	20.00	3. 500	300
$\mathrm{RfD}_{\mathrm{inh}}$	1.00	0. 028 6	40. 2	0. 015	20. 60	3. 520	300
RfD_{derm}	0. 01	0.0600	12. 0	0.086	5. 40	0. 525	60

根据表 3 可以看出, 青岛市区不同途径的大气降尘重金属 Cd、Cr、Cu、Hg、Ni、Pb、Zn 对人体健康的风险的平均值差异不大, 均明显小于 1, 说明整体来看青岛市区不同途径的大气降尘重金属对人体的健康危害较小; 但是市南区有 1 个点 Cr 经手-口、皮肤途径和市南、崂山、城阳区各有 1 个点 Pb 经皮肤途径对人体的健康风险 HI 大于 1, 说明市南区、

崂山区和城阳区大气降尘 Cr、Pb 如果一直保持这种高浓度,有4个采样点可能通过皮肤、手-口途径对人体的健康造成危害.

根据表 4 可以看出,不同途径的大气降尘重金属 Cd、Cr、Cu、Hg、Ni、Pb、Zn 对人体健康的风险累积的平均值差异不大,均明显小于1,说明整体来看青岛市区大气降尘 Cd、Cr、Cu、Hg、Ni、Pb、Zn

表 3 青岛市区不同暴露途径的大气降尘重金属对人体健康风险

Table 3 Characteristics table for the HQ of heavy metals in the atmospheric dustfall to human health under

various exposure approaches in the area of Qingdao City

途径	项目	Cd	Cr	Cu	Hg	Ni	Pb	Zn
	最小值	0.00	0. 04	0.00	0.00	0.00	0.06	0.00
手-口	最大值	0. 02	1.60	0.09	0. 01	0.04	1.81	0. 21
	平均值	0.00	0. 17	0.01	0.00	0.00	0. 20	0.02
	最小值	0.00	0.00	0.00	0.00	0.00	0.00	0.00
呼吸	最大值	0.00	0. 01	0.00	0.00	0.00	0.00	0.00
	平均值	0.00	0.00	0.00	0.00	0.00	0.00	0.00
	最小值	0.00	0.05	0.00	0.00	0.00	0.00	0.00
皮肤	最大值	0.05	1. 99	0. 01	0.00	0.00	0.30	0.03
	平均值	0. 01	0. 22	0.00	0.00	0.00	0. 03	0.00

表 4 青岛市区大气降尘重金属对人体健康的风险

Table 4 Characteristics table for the HI of heavy metals for each heavy metal in the atmospheric dustfall to human health in the area of Qingdao City

项目	Cd	Cr	Cu	Hg	Ni	Pb	Zn	综合
最小值	0.00	0. 10	0.00	0.00	0. 00	0. 07	0.00	0. 20
最大值	0.07	3.60	0.09	0. 01	0. 04	2. 11	0. 23	3.96
平均值	0.01	0.39	0. 01	0.00	0. 01	0. 23	0.02	0. 67

对人体的健康危害较小;但 Cr、Pb 的最大值却大于1,尤其是市南区 Cr,达到3.60,明显大于手-口途径或皮肤途径的大气降尘 Cr 对人体的健康风险,说明不同途径的大气降尘 Cr、Pb 对人体的健康风险累积,将明显加大危害人体健康的风险.不同种类的大气降尘重金属 Cd、Cr、Cu、Hg、Ni、Pb、Zn 累积对人体健康总风险的平均值小于1,说明整体来看青岛市区大气降尘重金属累积对人体健康的风险较小;但是其最大值却明显大于1,且与大气降尘重金属 Cr、Cd、Cu、Hg、Ni、Pb、Zn 对人体健康的风险最大值相比,均明显偏大,说明不同种类的大气降尘重金属累积将明显加大危害人体健康的风险.

3 结论

- (1)根据青岛市区大气降尘重金属的特征分析,可以得出市南市北崂山区、李沧城阳区、黄岛区大气降尘重金属 Cr、Cd、Cu、Hg、Ni、Pb、Zn 时空分布非常不均匀,除市南市北崂山区大气降尘 Hg的平均含量低于土壤值外,其它均高于土壤值,尤其是市南市北崂山区的 Cd、Cr、Cu、Pb、Zn,李沧城阳区的 Pb、Zn、黄岛区的 Cd、Cu、Pb、Zn,均在土壤值的 5 倍以上,可能受到人为因素的明显影响.市南市北崂山区与李沧城阳区和黄岛区相比,大气降尘重金属平均值除 Ni 外均为最高,污染较重.
- (2)根据青岛市区大气降尘重金属 Cr、Cd、Cu、Hg、Ni、Pb、Zn 对人体的健康风险分析,可以

得出整体来看青岛市区大气降尘重金属对人体健康的风险差异不大,危害较小;但是市南区、崂山区和城阳区大气降尘 Cr、Pb 如果一直保持这种高浓度,就有 4 个采样点可能通过皮肤、手-口途径对人体的健康造成危害.且不同途径、不同种类的大气降尘重金属累积将明显加大危害人体健康的风险.

参考文献:

- [1] Abrahams P.W. Soils: their implications to human health [J]. Science of the Total Environment, 2002, **291**(1-3): 1-32.
- [2] 杜金花, 张宜升, 何凌燕, 等. 深圳某地区大气 PM_{2.5}中重金属的污染特征及健康风险评价[J]. 环境与健康杂志, 2012, **29**(9): 838-840.
- [3] Gomez B, Palacios M A, Gomez M, et al. Levels and risk assessment for humans and ecosystems of platinum-group elements in the airborne particles and road dust of some European cities [J]. Science of the Total Environment, 2002, 299 (1-3): 1-10
- [4] 胡恭任,于瑞莲,林燕萍,等. TCLP 法评价泉州市大气降尘重金属的生态环境风险[J]. 矿物学报,2013,33(1):1-0
- [5] 孙广义,闭向阳,李仲根,等.武汉市幼儿园降尘 Pb 污染特征及其生物有效性[J].环境科学,2011,32(11):3305-3311.
- [6] 梅凡民,徐朝友,周亮.西安市公园大气降尘中 Cu、Pb、Zn、Ni、Cd 的化学形态特征及其生物有效性[J].环境化学,2011,30(7):1284-1290.
- [7] 喻超,凌其聪,彭振宇,等.城市工业区环境系统中的 Cd 污染循环及其健康风险——以杭州市半山工业区为例[J].环境科学学报,2011,31(11):2474-2484.
- [8] 于瑞莲, 胡恭任, 戚红璐, 等. 泉州市不同功能区大气降尘

- 重金属污染及生态风险评价[J]. 环境化学, 2010, **29**(6): 1086-1090.
- [9] 刘章现,王国贞,郭瑞,等. 河南省平顶山市大气降尘的化学特征及其来源解析[J]. 环境化学,2011,30(4):826-831.
- [10] DD 2005-01, 多目标区域地球化学调查规范(1:250 000) [S].
- [11] 吕建树, 张祖陆, 刘洋, 等. 日照市土壤重金属来源解析及 环境风险评价[J]. 地理学报, 2012, **67**(7): 971-984.
- [12] 代杰瑞,王学,董建,等. 山东省东部地区土壤重金属污染及其生态环境效应[J]. 地球科学与环境学报, 2012, **34** (4): 74-79.
- [13] 黄顺生,华明,金洋,等. 南京市大气降尘重金属含量特征及来源研究[J]. 地学前缘,2008,15(5):161-166.
- [14] 蔡奎, 栾文楼, 李随民, 等. 石家庄市大气降尘重金属元素 来源分析[J]. 地球与环境, 2012, **40**(1): 37-43.
- [15] 汤洁, 韩维峥, 李娜, 等. 哈尔滨市城区大气重金属沉降特征和来源研究[J]. 光谱学与光谱分析, 2011, **31**(11): 3087-3091
- [16] 郭广慧, 陈同斌, 宋波, 等. 中国公路交通的重金属排放及 其对土地污染的初步估算[J]. 地理研究, 2007, **26**(5): 922-930.
- [17] 陈兴茂, 冯丽娟, 李先国, 等. 青岛地区大气气溶胶中微量

- 金属的时空分布[J]. 环境化学, 2004, 23(3): 334-340.
- [18] 于瑞莲, 胡恭任, 袁 星, 等. 大气降尘中重金属污染源解析研究进展[J]. 地球与环境, 2009, 37(1): 73-79.
- [19] Pagotto C, Remy N, Legret M, et al. Heavy metal pollution of road dust and roadside soil near a major rural highway [J]. Environmental Technology, 2001, 22(3): 307-319.
- [20] 张新民, 柴发合, 孙新章. 大气降尘研究进展[J]. 中国人口·资源与环境, 2008, **18**(专刊): 658-662.
- [21] 常静, 刘敏, 李先华, 等. 上海地表灰尘重金属污染的健康 风险评价[J]. 中国环境科学, 2009, **29**(5); 548-554.
- [22] U. S. Environmental Protection Agency. Supplemental Guidance for Developing Soil Screening Levels for Superfund Sites [EB/ OL]. http://www.epa.gov/superfund/health/conmedia/soil/ pdfs/ssgmarch01.pdf, 2001-03-27.
- [23] Ferreira-Baptista L, De Miguel E. Geochemistry and risk assessment of street dust in Luanda, Angola: a tropical urban environment [J]. Atmospheric Environment, 2005, 39 (25): 4501-4512.
- [24] 王宗爽, 段小丽, 刘平, 等. 环境健康风险评价中我国居民 暴露参数探讨[J]. 环境科学研究, 2009, **22**(10): 1164-1170.
- [25] 姜林, 王岩. 场地环境评价指南[M]. 北京: 中国环境科学出版社, 2004. 45-47.

Vol. 35 No. 7 Jul. 15, 2014

CONTENTS

CONTENTS	
Observation Study on Aerosol Optical Properties and Radiative Forcing Using the Ground-based and Satellite Remote Sensing	at Background Station During the Regional Pollution Episodes
	ZHANG Xiao-ling, XIA Xiang-ao, CHE Hui-zheng, et al. (2
n-situ Measurement of Atmospheric Methyl Chloroform at the Shangdianzi GAW Regional Background Station	
istribution of CO at Lin'an Station in Zhejiang Province	
ollution Characteristics of Organic and Elemental Carbon in Atmospheric Particles in Nanjing Northern Suburb in Summer	DUAN Qing, AN Jun-lin, WANG Hong-lei, et al. (2)
naracteristics of Water-soluble Organic Nitrogen of PM _{2.5} in Xi'an During Wintertime Non-haze and Haze Periods	CHENG Yu-ting, WANG Ge-hui, SUN Tao, et al. (2)
ect of Sand Dust Weather on Major Water-soluble Ions in PM ₁₀ in Lanzhou, China	WANG Fang, CHEN Qiang, ZHANG Wen-yu, et al. (2
versity of Bacterial Areasols in Precipitation of Shanghai Area	
ncentrations and Deposition Fluxes of Heavy Metals in Precipitation in Core Urban Areas, Chongqing	PENG Yu-long, WANG Yong-min, QIN Cai-qing, et al. (2)
thropogenic VOC Emission Inventory and Contribution from Industrial Sources in Ningbo	LI Xuan, WANG Xue-song, LIU Zhong, et al. (2
aluation and Selection of VOCs Treatment Technologies in Packaging and Printing Industry	
perimental Study on CO ₂ Absorption by Aqueous Ammonia-based Blended Absorbent	
liminary Investigation on Emission of PCDD/Fs and DL-PCBs Through Flue Gas from Coke Plants in China	
tribution and Source of Particulate Organic Carbon and Particulate Nitrogen in the Yangtze River Estuary in Summer 2012	
racteristics of Optical Absorption Coefficients and Their Differences in Typical Seasons in Lake Qiandaohu	
namic Distributions of Dissolved Oxygen in Lake Qiandaohu and Its Environmental Influence Factors	
rce Analysis of Urea-N in Lake Taihu During Summer ·····	
toplankton Community Structure and Its Succession in Isolated Lakes of Poyang-Junshan Lake	LIU Xia, QIAN Kui-mei, TAN Guo-liang, et al. (2
tical Distribution and Relationship Between ²¹⁰ Pb _{ex} Activities and Nutrients in Sediment Cores of Two Different Eutrophic	cation Level Lakes
The Adviser Diller of Co. Let His Dec. 100 and	WANG Xiao-lei, YANG Hao, GU Zhu-jun, et al. (2
ulation of Nitrate Pollution in Groundwater Using Pump-and-treat Optimization Method	
ation of Water DOC During the Process of Pre-pressure and Coagulation Sedimentation Treatment	
orption of Perchlorate by Calcined Mg/Zn/Al Layered Double Hydroxides	
orption Kinetic Mechanism of Ionic Soluble Dye Mixture on Fly Ash	SUN De-shuar, ZHENG Qrang-qrang, ZHANG Xrao-dong, et al. (1)
ct of SDS on the Adsorption of Cd ²⁺ onto Amphoteric Modified Bentonites	WANG Jian-tao, MENG Zhao-tu, YANG Ya-ti, et al. (1
ctural Changes of Aged Biochar and the Influence on Phenanthrene Adsorption	
ocatalytic Degradation Kinetics of Perfluorooctanoic Acid (PFOA) in TiO ₂ Dispersion and Its Mechanism	
acterizing the Interaction Between Roxarsone and Humic Acid by Fluorescence Quenching Experiment	
ification of Activated Carbon Fiber for Electro-Fenton Degradation of Phenol	MA Nan, TIAN Yao-jin, YANG Guang-ping, et al. (2
stigation of Enhanced Low Carbon Wastewater Denitrification by Catalytic Iron	WANG Meng-yue, MA Lu-ming (
itrification Performance of PBS as a Solid Carbon Source of Denitrification	
ncentrations, Distribution Characteristics and Electron Beam Radiolysis Degradation of PCDD/Fs in Waste Water from a P	Paper Mill OINC View HUANC I'm giong VII View wei et al. (
dy on the Quality of Digested Piggery Wastewater in Large-Scale Farms in Jiaxing	WEI Dan WAN Mai THI Rui et al. (
w Ways to Improve Volatile Fatty Acids Accumulation in Sludge Alkaline Fermentation System	
tribution and Ecological Risk Assessment of Polycyclic Aromatic Hydrocarbons in Surface Sediments and Soils from Dishui	i Lake and Its Water Exchange Areas
and Decoupled Talk Toolston of Toylytel Holland Tyurounding and College College	GUO Xue, BI Chun-juan, CHEN Zhen-lou, et al. (2
stribution of Polycyclic Aromatic Hydrocarbons in Water and Sediment from Zhoushan Coastal Area, China	JIANG Min, Le Huy Tuan, MEI Wei-ping, et al. (2
ntamination Levels and Source Analysis of Polycyclic Aromatic Hydrocarbons and Organochlorine Pesticides in Soils and G	crasses from Lake Catchments in the Tibetan Plateau
manimum 12-rear and course ringrate of 1979 year riomater representation restricted in 1991 and 0.	XIE Ting, ZHANG Shu-juan, YANG Rui-qiang (
tribution Characteristics and Risk Assessment of Organochlorine Pesticides in Soil from Jiufeng Mountain Range in Fujian,	, China
S. F. S. J. S. J. S. J. S. J. S. J. S. J. Diff. J. F. J. J. A.	HUANG Huan-lang, QI Shi-nua, QU Cheng-kai, et al. (
ution Fingerprints and Sources of Perfluorinated Compounds in Surface Soil of Different Functional Areas	
tribution, Seasonal Variation and Influence Factors of Dissolved Inorganic Arsenic in the Sanggou Bay	
tribution of Soil Heavy Metal and Pollution Evaluation on the Different Sampling Scales in Farmland on Yellow River Irrig	gation Area of Ningxia; A Case Study in Xingqing County of
Yinchuan City	
ease of Mercury from Soil and Plant in Water-Level-Fluctuating Zone of the Three Gorges Reservoir Area and Its Accumul	nation in Zebratish
idues and Health Risk Assessment of Sulfonamides in Sediment and Fish from Typical Marine Aquaculture Regions of Gua	angdong Province, China
7 1	
lth Risk Assessment of Heavy Metals in Atmospheric Dust of Qingdao City	ZHANG Chun-rong, WU Zheng-long, YAO Chun-hui, et al. (2
lth Risk Assessment of Coke Oven PAHs Emissions	BO Xin, WANG Gang, WEN Rou, et al.
ects of Combined Pollution of Cd, Cu and Pb on Antioxidant Enzyme Activities of Earthworm in Soils	
icity of Three Chlorophenols to Protozoa Tetrahymena thermophila	LI Ya-jie, CUI Yi-Bin, JIANG Li-juan, et al. (2
toexclusion Potential Studies of Si Fertilization Modes on Rice Cadmium	CHEN Zhe, TIE Bo-qing, LEI Ming, et al. (2)
	1 0
cts of Conservation Tillage on Soil CO2 and N2O Emission During the Following Winter-Wheat Season	
	····· JIA Man-li. GUO Hong. LJ Hui-ke (?
eralization of Soil Organic Carbon and Its Relationship with Soil Enzyme Activities in Apple Orchard in Weibei	
eralization of Soil Organic Carbon and Its Relationship with Soil Enzyme Activities in Apple Orchard in Weibei m and Air Co-injection in Removing TCE in 2D-Sand Box	····· WANG Ning, PENG Sheng, CHEN Jia-jun (2
neralization of Soil Organic Carbon and Its Relationship with Soil Enzyme Activities in Apple Orchard in Weibei am and Air Co-injection in Removing TCE in 2D-Sand Box et of Cu ²⁺ on the Power Output of Dual-chamber Microbial Fuel Cell	
neralization of Soil Organic Carbon and Its Relationship with Soil Enzyme Activities in Apple Orchard in Weibei am and Air Co-injection in Removing TCE in 2D-Sand Box cet of Cu ²⁺ on the Power Output of Dual-chamber Microbial Fuel Cell issions of Greenhouse Gas and Ammonia from Sewage Sludge Composting by Continuous Aerated Turning Pile	WANG Ning, PENG Sheng, CHEN Jia-jun (
neralization of Soil Organic Carbon and Its Relationship with Soil Enzyme Activities in Apple Orchard in Weibei am and Air Co-injection in Removing TCE in 2D-Sand Box ect of Cu ²⁺ on the Power Output of Dual-chamber Microbial Fuel Cell issions of Greenhouse Gas and Ammonia from Sewage Sludge Composting by Continuous Aerated Turning Pile issions of NH ₃ , N ₂ O, and NO from Swine Manure Solid Storage in Winter	WANG Ning, PENG Sheng, CHEN Jia-jun (
neralization of Soil Organic Carbon and Its Relationship with Soil Enzyme Activities in Apple Orchard in Weibei am and Air Co-injection in Removing TCE in 2D-Sand Box ect of Cu ²⁺ on the Power Output of Dual-chamber Microbial Fuel Cell issions of Greenhouse Gas and Ammonia from Sewage Sludge Composting by Continuous Aerated Turning Pile issions of NH ₃ , N ₂ O, and NO from Swine Manure Solid Storage in Winter riation Characteristics and Mathematical Model of Humic Substances in Landfill Leachates with Different Landfill Ages	WANG Ning, PENG Sheng, CHEN Jia-jun (
cets of Conservation Tillage on Soil CO ₂ and N ₂ O Emission During the Following Winter-Wheat Season	WANG Ning, PENG Sheng, CHEN Jia-jun (

《环境科学》第6届编辑委员会

主 编:欧阳自远

副主编:赵景柱 郝吉明 田 刚

编 委:(按姓氏笔画排序)

万国江 王华聪 王凯军 王绪绪 田 刚 田 静 史培军

朱永官 刘志培 汤鸿霄 陈吉宁 孟 伟 周宗灿 林金明

欧阳自远 赵景柱 姜 林 郝郑平 郝吉明 聂永丰 黄 霞

黄耀 鲍强潘纲潘涛魏复盛

环维种草

(HUANJING KEXUE)

(月刊 1976年8月创刊)

2014年7月15日 第35卷 第7期

ENVIRONMENTAL SCIENCE

(Monthly Started in 1976)
Vol. 35 No. 7 Jul. 15, 2014

主	管	中国科学院	Superintended	by	Chinese Academy of Sciences
主	办	中国科学院生态环境研究中心	Sponsored	by	Research Center for Eco-Environmental Sciences, Chinese
协	办	(以参加先后为序)			Academy of Sciences
		北京市环境保护科学研究院	Co-Sponsored	by	Beijing Municipal Research Institute of Environmental
		清华大学环境学院			Protection
主	编	欧阳自远			School of Environment, Tsinghua University
编	辑	《环境科学》编辑委员会	Editor-in -Chief		OUYANG Zi-yuan
2 111 1	14	北京市 2871 信箱(海淀区双清路	Edited	by	The Editorial Board of Environmental Science (HUANJING
		18 号,邮政编码:100085)			KEXUE)
		电话:010-62941102,010-62849343			P. O. Box 2871, Beijing 100085, China
		传真:010-62849343			Tel:010-62941102,010-62849343; Fax:010-62849343
		E-mail; hjkx@ rcees. ac. cn			E-mail; hjkx@ rcees. ac. cn
		http://www.hjkx.ac.cn			http://www. hjkx. ac. cn
出	版	4 望 业 版 社	Published	by	Science Press
щ	NX.	北京东黄城根北街 16 号			16 Donghuangchenggen North Street,
		邮政编码:100717			Beijing 100717, China
印刷装	ìΤ	北京北林印刷厂	Printed	by	Beijing Bei Lin Printing House
发	行	结学业发社	Distributed	by	Science Press
~	••	电话:010-64017032			Tel:010-64017032
		E-mail: journal@ mail. sciencep. com			E-mail:journal@mail.sciencep.com
订 购	处	全国各地邮电局	Domestic		All Local Post Offices in China
国外总发	行	中国国际图书贸易总公司	Foreign		China International Book Trading Corporation (Guoji
		(北京 399 信箱)	-		Shudian), P. O. Box 399, Beijing 100044, China

中国标准刊号: ISSN 0250-3301 CN 11-1895/X

国内邮发代号: 2-821

国内定价:90.00元

国外发行代号: M 205

国内外公开发行